

# Слабая антилокализация и спин-орбитальное взаимодействие в квантовой яме $\text{In}_{0.53}\text{Ga}_{0.47}\text{As}/\text{InP}$ в режиме замороженной фотопроводимости

© Д.Д. Быканов<sup>¶</sup>, С.В. Новиков, Т.А. Полянская, И.Г. Савельев

Физико-технический институт им. А.Ф. Иоффе Российской академии наук,  
194021 Санкт-Петербург, Россия

(Получена 10 июня 2002 г. Принята к печати 17 июня 2002 г.)

Исследовано квантовое магнитосопротивление двумерного электронного газа в слабом магнитном поле на гетерогранице  $\text{In}_{0.53}\text{Ga}_{0.46}\text{As}/\text{InP}$  в режиме замороженной фотопроводимости. Знакопеременный характер зависимостей магнитосопротивления от магнитного поля свидетельствует о влиянии спин-орбитального взаимодействия на проводимость квантовой ямы. Показано, что основным вкладом в величину частоты спин-орбитального рассеяния  $1/\tau_{\text{so}}$  является механизм, определяемый встроенным на гетерогранице электрическим полем, — линейным по волновому вектору электрона механизмом Рашбы. Полученные данные позволяют на основе существующих теорий оценить параметры спин-орбитального расщепления энергетического спектра  $\alpha = (84 \pm 10) \text{ \AA}^2$  (по механизму Рашбы) и  $\gamma = (73 \pm 5) \text{ \AA}^3$  (по механизму Дьяконова–Переля и Дрессельхауза).

## 1. Введение

Как известно, в полупроводниках и полупроводниковых структурах с двумерным электронным газом (2DEG) классическое (лоренцовское) магнитосопротивление отсутствует при низких (гелиевых) температурах. На изоляторной стороне перехода металла–изолятор в области низких температур вместо классического магнитосопротивления наблюдают экспоненциально растущее с магнитным полем магнитосопротивление, обусловленное спиновой перестройкой зон Хаббарда [1], либо сжатием волновых функций электронов [2]. На металлической стороне перехода отсутствие лоренцовского магнитосопротивления связано с вырождением электронного газа [3]. Вместо этого в слабом магнитном поле при  $\omega_c \tau \ll 1$  наблюдается квантовое отрицательное магнитосопротивление (ОМС). Оно обусловлено подавлением эффекта слабой локализации магнитным полем и соответственно возрастанием проводимости [4]. В приведенных выше неравенствах:  $\omega_c$  — циклотронная частота,  $\tau$  — транспортное время (время релаксации импульса электрона). В более сильном магнитном поле проявляется положительное квантовое магнитосопротивление, обусловленное другим типом квантовых поправок к проводимости. Это поправки, связанные с модифицированным электрон–электронным взаимодействием, характерным для проводников с разупорядоченным электронным газом [4–7]. При  $\omega_c \tau \gg 1$  начинаются осцилляции Шубникова–де-Гааза.

Уменьшение проводимости в отсутствие магнитного поля (слабая локализация) вызывается интерференцией волновых функций электронов, прошедших один и тот же путь в прямом и обратном направлениях. Такая интерференция зависит от общего спина  $J$  двух электронных волн. При спин-орбитальном (СО) взаимодей-

ствии только интерференция находящихся в триплетном состоянии волн с  $J = 1$  дает эффект слабой локализации, т.е. уменьшает проводимость. Синглетное состояние интерферирующих волн с общим числом  $J = 0$  приводит к увеличению проводимости (эффект антилокализации). Соответственно подавление магнитным полем интерференции волн с  $J = 1$  увеличивает проводимость (эффект ОМС), а подавление интерференции волн с общим спином  $J = 0$  — уменьшает. В последнем случае происходит подавление слабой антилокализации, что приводит к положительному магнитосопротивлению (ПМС).

В первых работах по теории слабой локализации и антилокализации в качестве параметров, определяющих зависимости магнитосопротивления от магнитного поля, рассматривались времена сбоя фазы волновой функции электрона (*phase-breaking time, dephasing time*)  $\tau_\phi$  и  $\tau_{\text{so}}$ . Первое время ( $\tau_\phi$ ) — из-за сбоя фазы за счет неупругого рассеяния типа электрон–электронного или электрон–фононного взаимодействий. Второе ( $\tau_{\text{so}}$ ) — из-за сбоя фазы за счет спин-орбитального рассеяния электронов. Предполагалось, что  $\tau_{\text{so}}$  определяется только одним механизмом СО взаимодействия. В качестве процесса, определяющего время  $\tau_{\text{so}}$ , рассматривался либо механизм спиновой релаксации Эллиота–Яфета [8], либо — Дьяконова–Переля, возникающий в полупроводниках без центра инверсии (часто называемый механизмом Дрессельхауза) [4,9]. Впоследствии появились теоретические разработки, показавшие, что при действии нескольких механизмов СО взаимодействия они влияют различным образом на зависимость проводимости 2DEG от магнитного поля [10,11], и был предложен новый тип зависимости, учитывающий это различное влияние. В результате путем анализа экспериментальных зависимостей оказалось возможным оценивать отдельно вклады различных механизмов СО рассеяния.

<sup>¶</sup> E-mail: dbyk@mail.ioffe.ru

В данной работе мы представляем результаты исследования магнитосопротивления 2DEG на гетерогранице  $\text{In}_{0.53}\text{Ga}_{0.47}\text{As}/\text{InP}$  при заполнении одной подзоны размерного квантования в режиме замороженной проводимости и сравнение этих данных с теориями [10,11]. Ранее подобное экспериментальное исследование было выполнено для 2DEG на гетерогранице  $\text{GaAs}/\text{In}_{0.15}\text{Ga}_{0.85}\text{As}$  и на образцах, находящихся в равновесном состоянии (в темноте) [11].

## 2. Теоретические предпосылки

Теория квантовых поправок справедлива для слабо разупорядоченного электронного газа при выполнении условия

$$k_F l > 1, \quad (1)$$

где  $k_F$  — волновой вектор электрона на уровне Ферми,  $l$  — длина свободного пробега. Теоретические зависимости магнитопроводимости от магнитного поля справедливы только до величины магнитного поля, соответствующей неравенству

$$L_B < l, \quad (1a)$$

где  $L_B = (\hbar c / 2eB)^{1/2}$  — магнитная длина.

Возникновение знакопеременной зависимости квантового магнитосопротивления можно проиллюстрировать, используя теоретическую зависимость магнитопроводимости (*magnetoconductivity*) 2DEG от магнитного поля из работы [8]:

$$\frac{\sigma(B) - \sigma(0)}{G_0} = \frac{\Delta\sigma(B)}{G_0} = f_2\left(\frac{B}{H_s + H_\varphi}\right) + \frac{1}{2} f_2\left(\frac{B}{2H_s + H_\varphi}\right) - \frac{1}{2}(1 + \beta) f_2\left(\frac{B}{H_\varphi}\right), \quad (2)$$

где  $B$  — магнитное поле,  $G_0 = e^2 / 2\pi\hbar$ ,  $\beta$  — коэффициент, определяющий величину поправки Маки-Томпсона [12]:

$$\Delta\sigma_{\text{MT}}(B) = -\beta G_0 f_2\left(\frac{B}{H_\varphi}\right); \quad (3)$$

функция  $f_2(x)$  определяется диаграмма-функцией  $\Psi(z)$ :

$$f_2(x) = \Psi\left(\frac{1}{2} + \frac{1}{x}\right) + \ln x.$$

Параметр  $H_\varphi$  связан со временем сбоя фазы  $\tau_\varphi$ :

$$H_\varphi = \frac{\hbar c}{4eD\tau_\varphi}, \quad (4)$$

параметр  $H_s$  — со временем релаксации СО взаимодействий  $\tau_{\text{SO}}$ :

$$H_s = \frac{\hbar c}{4eD\tau_{\text{SO}}}. \quad (5)$$

Если частота СО рассеяния  $1/\tau_{\text{SO}}$  много меньше частоты  $1/\tau_\varphi$ , то  $2/H_s + H_\varphi \approx H_\varphi$ , и, складывая члены в правой части (2), получаем

$$\frac{\Delta\sigma(B)}{G_0} = (1 - \beta) f_2\left(\frac{B}{H_\varphi}\right) > 0,$$

т.е. квантовая поправка к проводимости положительна и наблюдается эффект ОМС, определяемый временем сбоя фазы.

В дальнейшем, как и в большинстве теоретических [10,11] и экспериментальных исследований, мы не будем учитывать поправку Маки-Томпсона (3), считая  $\beta \rightarrow 0$ .

Для полупроводников с сильным спин-орбитальным взаимодействием электронов, как например полупроводники  $A^{IV}$  и  $A^{III}B^V$   $p$ -типа, а также для квантовых ям с дырочной проводимостью на их основе справедливо обратное неравенство  $1/\tau_{\text{SO}} \gg 1/\tau_\varphi$ , т.е.

$$H_s \ll H_\varphi \quad (6)$$

и основную роль играет последний член в правой части (2). Квантовая поправка к проводимости становится отрицательной, т.е. наблюдается ПМС. Этот эффект, как и ОМС, определяется только величиной и температурной зависимостью времени  $\tau_\varphi$ :

$$\frac{\Delta\sigma(B)}{G_0} = -\frac{1}{2} f_2\left(\frac{B}{H_\varphi}\right) < 0. \quad (7)$$

Если частоты  $1/\tau_{\text{SO}}$  и  $1/\tau_\varphi$  сравнимы по величине, то

$$H_s \gtrsim H_\varphi \quad (8)$$

и в слабом магнитном поле также основную роль играет последний член в правой части (2) с большим значением аргумента, обеспечивая эффект ПМС. По мере возрастания магнитного поля и насыщения этой зависимости начинают превалировать первые слагаемые и магнитопроводимость изменяет знак, а магнитосопротивление становится отрицательным. Такое знакопеременное магнитосопротивление удается наблюдать в структурах на основе  $A^{III}B^V$  с двумерным электронным газом (см., например, [9,11,13]). Оно проявляется в виде пика положительного магнитосопротивления в области слабого магнитного поля с последующей сменой знака и переходом в ОМС.

Как было показано в работе [10], вид зависимости (2) должен быть изменен, если в гамильтониане для спинового расщепления зоны проводимости

$$H = \frac{k^2}{2m^*} + (\boldsymbol{\sigma}\boldsymbol{\Omega}) \quad (9)$$

присутствуют линейные по  $k$  члены, описывающие СО взаимодействие (рассматривалась плоскость гетерограницы [100] в  $A^{III}B^V$ ). В выражении (9)  $\hbar = 1$ ,  $k^2 = k_x^2 + k_y^2$ ,  $\boldsymbol{\sigma} = (\sigma_x, \sigma_y)$ ,  $\boldsymbol{\Omega} = (\Omega_x, \Omega_y)$  — двумерные вектора с компонентами в плоскости квантовой ямы;

$\sigma_i$  — компоненты матрицы Паули. Вектор  $2\Omega/\hbar$  имеет физический смысл вектора прецессии: его длина равна частоте прецессии спина и его направление определяет ось прецессии. Расщепление энергии по спину равно  $2\Omega$ .

В рассматриваемом случае расчет времени релаксации спина производится как

$$\frac{1}{\tau_{so}} = 2(\Omega_1^2\tau_1 + \Omega_{1R}^2\tau_1 + \Omega_3^2\tau_3), \quad (10)$$

где

$$\frac{1}{\tau_n} = \int W(\theta)(1 - \cos n\theta)d\theta, \quad n = 1, 3;$$

$$\Omega_1 = \gamma k \left( \langle k_z^2 \rangle - \frac{1}{4}k^2 \right) \quad (11)$$

— член, линейный по волновому вектору (механизм Дьяконова–Переля) [14]. Здесь  $\langle k_z^2 \rangle$  — средняя величина квадрата волнового вектора в направлении, перпендикулярном плоскости 2DEG.

$$\Omega_3 = \gamma \frac{k^3}{4} \quad (12)$$

— член кубический по волновому вектору в плоскости гетерограницы (механизм Дрессельхауза). В дальнейшем будем обозначать  $\tau_1 = \tau$  — транспортное время релаксации. Следует отметить, что выражение для магнитопроводимости (2) справедливо, если в СО рассеянии присутствует только вклад  $\Omega_3$ .

Кроме того, в асимметричной квантовой яме возникает дополнительный член в гамильтониане, также линейный по волновому вектору электрона

$$\Omega_{1R} = \alpha Fk \quad (13)$$

( $F$  — электрическое поле на гетерогранице), предложенный Рашбой [15]. Коэффициенты  $\alpha$  и  $\gamma$  являются константами, характеризующими энергетический спектр полупроводника со слоем 2DEG.

Теоретический анализ [10] показал, что для учета линейных членов при расчете квантовых поправок, связанных со слабой локализацией, неправильно использовать просто суммарное время для релаксации спина в выражении (2). В этой работе представлено аналитическое выражение для магнитопроводимости:

$$\frac{\Delta\sigma(B)}{G_0} = -\frac{1}{a_0} - \frac{2a_0 + 1 + \frac{H_s}{B}}{a_1(a_0 + \frac{H_s}{B}) - 2\frac{H_{s1}}{B}}$$

$$+ \sum_{n=0}^{\infty} \left( \frac{3}{n} - \frac{3a_n^2 + 2a_n\frac{H_s}{B} - 1 - 2(2n+1)\frac{H_{s1}}{B}}{(a_n + \frac{H_s}{B})a_{n-1}a_{n+1} - 2((2n+1)a_n - 1)\frac{H_{s1}}{B}} \right)$$

$$- 2\ln \frac{H_{tr}}{B} - \Psi \left( \frac{1}{2} + \frac{H_\varphi}{B} \right) - 3C, \quad (14)$$

где  $a_n = n + \frac{1}{2} + \frac{H_\varphi}{B} + \frac{H_s}{B}$ ,  $C$  — константа Эйлера. В зависимости (14) в отличие от выражения (2) есть

два характерных магнитных поля для описания спин-орбитального рассеяния: кроме  $H_s$ , определяемого суммарной величиной времени релаксации спина  $\tau_{so}$  (10):

$$H_s = \frac{2}{4\hbar eD} (\Omega_1^2\tau + \Omega_3^2\tau_3 + \Omega_{1R}^2\tau), \quad (15)$$

возникает дополнительный параметр  $H_{s1}$ , который определяется наибольшим из членов (11) или (13), линейными по волновому вектору

$$H_{s1} = \frac{2\tau \max\{\Omega_1^2, \Omega_{1R}^2\}}{4\hbar eD}. \quad (16)$$

Условие (1a) для применимости всех теоретических зависимостей магнитопроводимости от магнитного поля для 2DEG может быть записано в виде

$$B < H_{tr} = \frac{\hbar c}{4eD\tau}. \quad (16a)$$

### 3. Образцы и методика эксперимента

Селективно легированные гетероструктуры  $In_{0.53}Ga_{0.47}As/InP$  изготавливались методом жидкофазной эпитаксии [16]. На подложке из полуизолирующего InP, легированного железом, выращивался буферный слой фосфида индия  $p$ -типа, легированного самарием (с концентрацией дырок  $p \approx 10^{15} \text{ см}^{-3}$  при комнатной температуре) толщиной порядка 1.5 мкм, затем слой InP  $n$ -типа (источник электронов в квантовой яме) толщиной 0.5–0.6 мкм, легированный Si ( $N_{Si} \approx (2-3) \cdot 10^{17} \text{ см}^{-3}$ ), и слой твердого раствора  $In_{0.53}Ga_{0.47}As$   $p$ -типа толщиной 4–5 мкм (с концентрацией дырок  $p \approx 10^{15} \text{ см}^{-3}$ ). Методом фотолитографии из структур изготавливались образцы для гальваномагнитных измерений в виде двойных холловских крестов с 6 контактами. На контактные площадки образцов были вплавлены капли In в вакууме при  $450^\circ\text{C}$ , что обеспечивало омический контакт к слою 2DEG. Концентрация электронов в образцах варьировалась импульсами света от GaAs-светодиода с помощью эффекта замороженной фотопроводимости (неравновесного, но квазистационарного процесса), который сопровождается перераспределением зарядов и уменьшением встроенного электрического поля на

**Таблица 1.** Характеристики исследованных образцов в равновесном состоянии при  $T = 1.8 \text{ K}$

Образец	$R$ , Ом	$n_s$ , $10^{11} \text{ см}^{-2}$	$\mu$ , $10^4 \text{ см}^2/(\text{В} \cdot \text{с})$	$\tau$ , пс	$H_{tr}$ , Гс	$k_{Fl}$
1	552	2.93	3.86	0.90	28	47
2	649	4.06	2.37	0.55	53	40
3	717	3.38	2.573	0.60	54	36

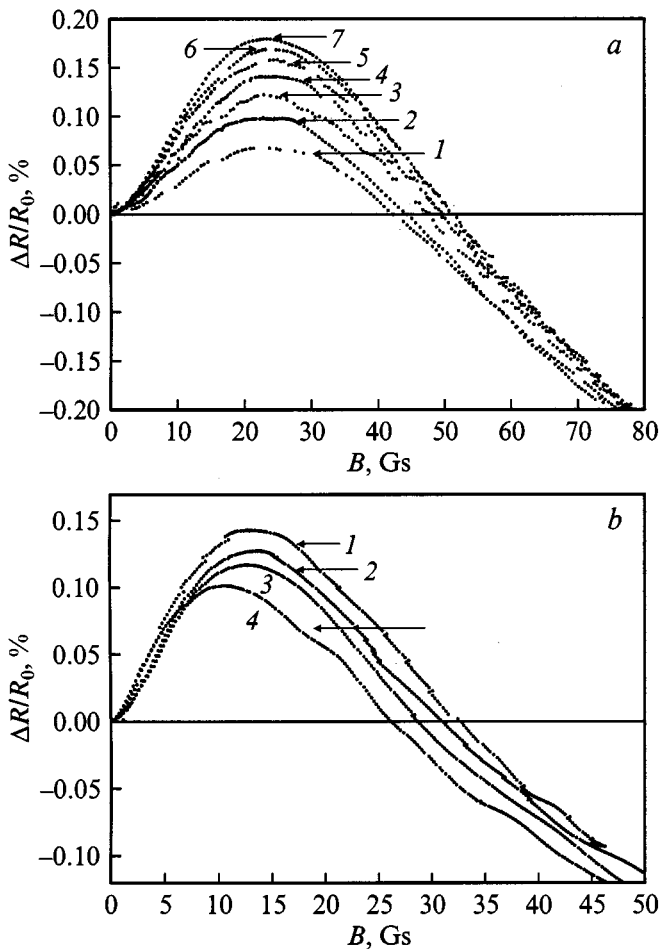
*Примечание.*  $R$  — сопротивление на квадрат пленки,  $n_s$  и  $\mu$  — холловские концентрация и подвижность электронов,  $\tau$  — время упругого рассеяния,  $H_{tr}$  — параметр (16a),  $k_{Fl}$  — параметр (1).

гетерогранице [17]. В диапазоне изменения концентрации в образцах уровень химического потенциала  $\epsilon_F$  находился в 1-й подзоне размерного квантования.

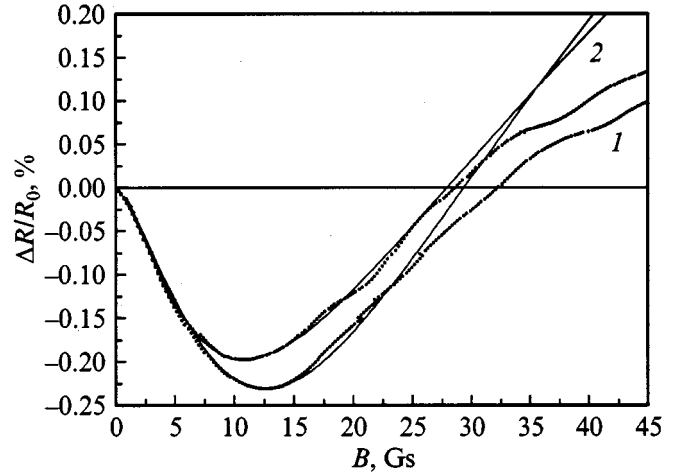
Измерения были выполнены в диапазоне  $T = 1.8-4.2$  К на образцах с исходной концентрацией 2DEG от  $n_s = 2.9 \cdot 10^{11}$  до  $n_s = 4.1 \cdot 10^{11}$  см $^{-2}$ . Методика гальваномагнитных измерений описана в работе [18]. Параметры двумерного электронного газа при температуре  $T = 1.8$  К приведены в табл. 1.

#### 4. Результаты эксперимента и их анализ

В слабом магнитном поле для всех состояний образцов (как в темноте, так и при освещении) наблюдались зависимости знакопеременного магнитосопротивления от магнитного поля с максимумом положительного магнитосопротивления при величине магнитного по-



**Рис. 1.** Зависимости магнитосопротивления  $\Delta R/R_0$  от магнитного поля  $B$  для образцов с номерами (см. табл. 1):  $a$  — 3,  $b$  — 1. На рис.  $a$  — при изменении температуры  $T$ , К: 1 — 4.21, 2 — 3.74, 3 — 3.27, 4 — 2.78, 5 — 2.45, 6 — 1.99, 7 — 1.81. На рис.  $b$  — при изменении концентрации электронов  $n_s$ ,  $10^{11}$  см $^{-3}$ : 1 — 2.93, 2 — 3.08, 3 — 3.103, 4 — 3.202.



**Рис. 2.** Зависимости магнитопроводимости  $\Delta\sigma/G_0$  от магнитного поля  $B$  для образца 1 (см. табл. 1) при концентрации электронов  $n_s$ ,  $10^{11}$  см $^{-3}$ : 1 — 3.14, 2 — 3.20. Сплошные линии — подогнанные теоретические зависимости (14).

ля  $B < 50$  Гс. На рис. 1,  $a, b$  показаны примеры такого типа зависимостей магнитосопротивления от магнитного поля  $[R(B) - R(0)]/R(0) = \Delta R/R_0$ . Перерасчет  $\Delta R/R_0 = f(B)$  в зависимость магнитопроводимости от магнитного поля  $[\sigma(B) - \sigma(0)] = \Delta\sigma(B)$ , нормированной на величину  $G_0 = e^2/2\pi\hbar$ , производился следующим образом:

$$\frac{\sigma(B) - \sigma(0)}{G_0} = \frac{\Delta\sigma(B)}{G_0} = -\frac{\sigma_0}{G_0} \left[ \frac{\Delta R(B)}{R_0} + \left( \frac{\sigma_{xy}(B)}{\sigma_{xx}(B)} \right)^2 \right],$$

где

$$\left( \frac{\sigma_{xy}(B)}{\sigma_{xx}(B)} \right)^2 \approx (\mu H)^2,$$

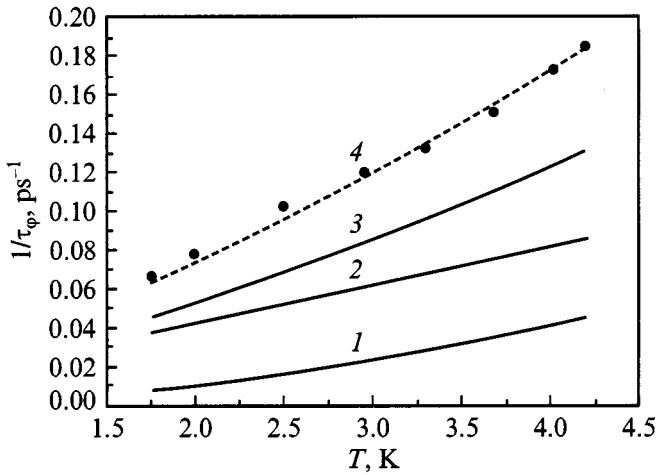
$\mu$  — холловская подвижность. Предполагалось, что в слабом магнитном поле  $(\mu H)^2 \ll 1$ , но может быть сравнимо по величине со значениями  $\Delta R(B)/R_0$ . Получаемые таким образом зависимости (рис. 2) сопоставлялись с теоретической (14) для нахождения параметров  $H_\phi$  (4),  $H_s$  (15) и  $H_{s1}$  (16).

На рис. 1,  $a$  представлены данные для одного из образцов в исходном состоянии при изменении температуры; на рис. 1,  $b$  и рис. 2 — при разной концентрации 2DEG, варьруемой импульсами подсветки образца с помощью GaAs-диода. На рис. 2 сплошными линиями показаны также теоретические зависимости (14), наиболее хорошо описывающие экспериментальные данные.

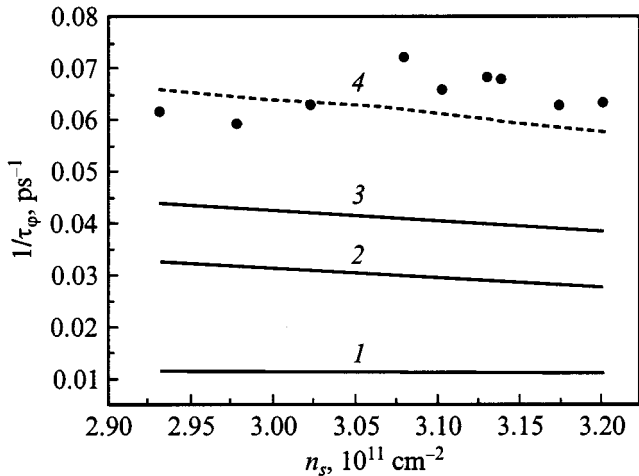
Найденные значения  $H_\phi$  использовались для нахождения времени сбоя фазы  $\tau_\phi$  в соответствии с соотношением (4). Коэффициент диффузии вычислялся как

$$D = \frac{\sigma}{e^2\nu} = \frac{\hbar}{m^*2\pi G_0 R_0}.$$

Здесь  $\nu$  — плотность состояний 2DEG. Экспериментальные значения частоты сбоя  $1/\tau_\phi$  показаны точками на



**Рис. 3.** Зависимости частоты сбоя фазы  $1/\tau_\phi$  от температуры для образца 3 в равновесном состоянии. Экспериментальные значения (точки) получены в результате сопоставления зависимостей  $\Delta\sigma(B)/G_0$  с выражением (14). Теоретические зависимости: 1 —  $1/\tau_p^{ec}$  (18), 2 —  $1/\tau_d^{ec}$  (17), 3 —  $1/\tau_\phi^{ec}$  (19), 4 —  $1.5/\tau_\phi^{ec}$ .



**Рис. 4.** Зависимости частоты сбоя фазы  $1/\tau_\phi$  от концентрации электронов для образца 1 в режиме замороженной проводимости. Обозначения те же, что и на рис. 3.

рис. 3 — в зависимости от температуры и на рис. 4 — от концентрации электронов.

Перед сравнением этих данных с теоретическими отметим, что в более ранних наших работах, например [19], было показано, что релаксация фазы волновой функции в основной подзоне в гетероструктурах на основе  $\text{A}^{\text{III}}\text{B}^{\text{V}}$  при гелиевых температурах определяется электрон-электронным взаимодействием. Первый тип такого взаимодействия, характерный для слабо разупорядоченных проводников, определяется так называемым найквистовским временем [20]:

$$\frac{\hbar}{\tau_d^{ec}} = \frac{2\pi G_0}{\sigma} T \ln \left( \frac{\sigma}{2\pi G_0} \right). \quad (17)$$

Другой тип взаимодействия характерен для идеальной ферми-жидкости. В 2DEG соответствующее время имеет вид [21]

$$\frac{\hbar}{\tau_p^{ec}} = \frac{\pi T^2}{2\varepsilon_F} \ln \left( \frac{\varepsilon_F}{T_M} \right), \quad T_M = \max \left( \frac{\hbar}{\tau}, T \right).$$

При условии  $T < \hbar/\tau$ ,  $T_M = \hbar/\tau$ . Тогда

$$\frac{\hbar}{\tau_p^{ec}} = \frac{\pi T^2}{2\varepsilon_F} \ln \left( \frac{\sigma}{2\pi G_0} \right). \quad (18)$$

Суммарная частота электрон-электронного взаимодействия вычисляется на основе измеренных значений проводимости образца  $\sigma$  и концентрации электронов  $n_s$ , как

$$\frac{1}{\tau_\phi^{ec}} = \frac{1}{\tau_d^{ec}} + \frac{1}{\tau_p^{ec}}. \quad (19)$$

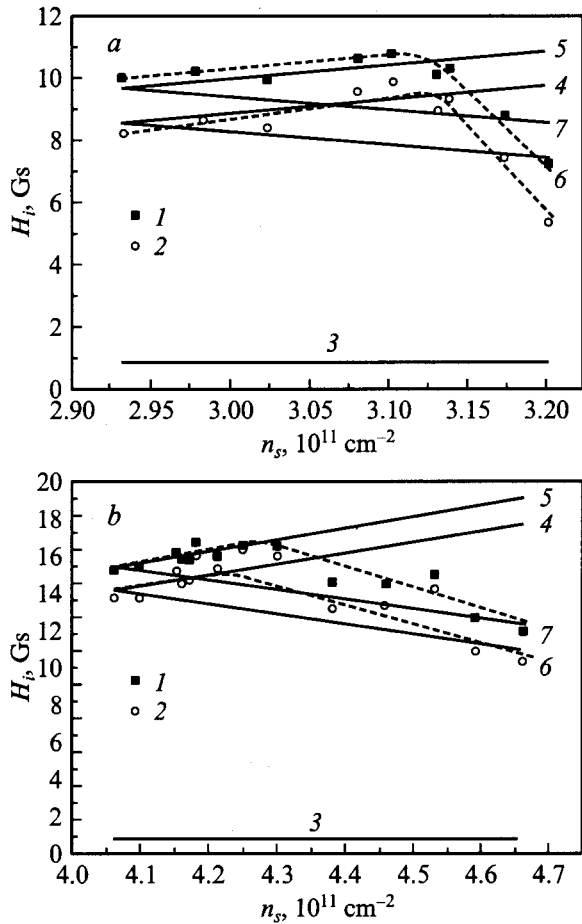
На тех же рис. 3 и 4 приведены теоретические зависимости времен  $1/\tau^{ec}$  (17)–(19) от температуры и концентрации электронов. Можно видеть качественное совпадение расчетных  $1/\tau_\phi^{ec}$  и экспериментальных  $1/\tau_\phi$  зависимостей от  $n_s$  и  $T$ . Количественное расхождение численных значений  $\tau_\phi$  в пределах 50%, как и в нашем случае (см. штриховые кривые 4 на рис. 3 и 4), достаточно часто наблюдается при сравнении экспериментальных и теоретических значений (см. [6], разд. 4.2).

Сбой фазы волновой функции электронов может быть связан и с неупругим электрон-фононным рассеянием. Для теоретической оценки соответствующей частоты мы использовали время релаксации средней энергии электрона при рассеянии на деформационном (DA) и пьезоэлектрическом (PA) потенциале акустических фононов. Соответствующие выражения (на основе теории Карпуса [22]) приведены, например, в работе [23] (разд. 4.3.2). В результате оказалось, что для всех образцов частота электрон-фононных взаимодействий при DA рассеянии изменяется от  $\sim 0.004 \text{ ps}^{-1}$  при  $T = 1.8 \text{ K}$  до  $\sim 0.01 \text{ ps}^{-1}$  при  $T = 4.2 \text{ K}$ . Частота PA электрон-фононного взаимодействия еще на порядок меньше. Следовательно, эти механизмы неупругого рассеяния практически не дают вклада во время сбоя фазы в исследованных диапазонах температуры и концентрации электронов.

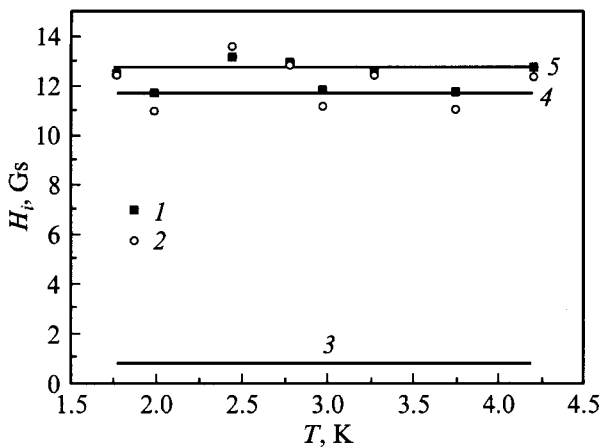
Таким образом, при заполнении нижней подзоны размерного квантования в режиме замороженной фотопроводимости (под воздействием импульсов света) время сбоя фазы  $\tau_\phi$  определяется, как и в стационарном случае (рис. 3), временем электрон-электронного взаимодействия (19).

На рис. 5,6 (точки 1 и 2) представлены значения  $H_s(n_s)$ ,  $H_s(T)$  и  $H_{s1}(n_s)$ ,  $H_{s1}(T)$ , определенные путем сопоставления экспериментальных зависимостей магнитопроводимости от магнитного поля с выражением (14).

Концентрационные зависимости этих параметров в режиме замороженной проводимости (рис. 5, a, b) качественно подобны тем, что наблюдались в работах [18,24]



**Рис. 5.** Параметры спин-орбитального взаимодействия в зависимости от концентрации 2DEG в режиме замороженной проводимости для образцов 1 (а) и 2 (б) (см. табл. 1). Экспериментальные значения (точки: 1 —  $H_s$  (15), 2 —  $H_{s1}$  (16)) получены в результате сопоставления зависимостей  $\Delta\sigma(B)/G_0$  с выражением (14). Штриховые кривые проведены на глаз через экспериментальные значения. Теоретические зависимости: 3 —  $H_{s3D}$  (23), 4 —  $H_{s1D}$  (20), 5 —  $H_{s1D} + H_{s3D} + H_{s1R}$ , 6 —  $H_{s1R}^{PP}$  (25), 7 —  $H_{s1D} + H_{s3D} + H_{s1R}^{PP}$ .



**Рис. 6.** Параметры спин-орбитального взаимодействия в зависимости от температуры для образца 3 в равновесном состоянии. Обозначения 1–5 такие же, как и на рис. 5.

для величин  $H_s$ . Однако следует отметить, что данные, полученные в [18,24] для зависимостей  $H_s(n_s)$  и  $H_{s1}(n_s)$  в 1-й подзоне размерного квантования, имеют только качественный характер, поскольку обрабатывались по теоретической зависимости (2), справедливой, вообще говоря, только для механизма СО рассеяния (12). Более детальные измерения и анализ на основе теории (14), представленные здесь, показали, что уменьшение параметров СО взаимодействия  $H_s$  и  $H_{s1}$  с ростом концентрации электронов наступает не сразу: в начале воздействия светом эти параметры продолжают немного возрастать с увеличением  $n_s$ , а затем убывают.

Температурные зависимости (рис. 6) измерялись на образце, находящемся в равновесном состоянии. Как и следовало ожидать, параметры, характеризующие СО рассеяние,  $H_s$  и  $H_{s1}$  не зависят от температуры (в пределах погрешности эксперимента).

Как видно из рис. 5, 6, экспериментальные значения  $H_{s1}$  близки по величине к значениям  $H_s$ . Это означает, что в сумме (15) последнее слагаемое играет основную роль, т.е. экспериментальные значения  $H_{s1}$  (16) определяются механизмом Рашбы:

$$H_{s1} = \frac{2\tau\Omega_{1R}^2}{4\hbar eD}.$$

Для сравнения с теорией расчетные значения параметров  $H_s$  (15) и  $H_{s1}$  (16) вычислялись следующим образом. Для нахождения величины  $\langle k_z^2 \rangle$  использовалось выражение [25]

$$\langle k_z^2 \rangle = \left[ \frac{48\pi m^* e^2 (N_0 + \frac{11}{32} n_s)}{\chi \hbar^2} \right]^{2/3}.$$

Для вычислений принимались значения диэлектрической проницаемости  $\chi = 14.1$ , эффективной массы электрона  $m^* = 0.0141m_0$ , концентрации остаточной примеси  $N_0 = 5 \cdot 10^{10} \text{ см}^{-2}$ . В результате для расчета величины  $H_{s1D}$ , определяемой  $\Omega_{1R}^2$  (11), получаем

$$H_{s1D} = 1.132 \cdot 10^7 \gamma^2 \left( \frac{m^*}{m_0} \right)^2 \times \left\{ 0.0233 \left[ \frac{m^*}{m_0} \frac{1}{\chi} \frac{(N_0 + \frac{11}{32} n_s)}{10^{12}} \right]^{2/3} - 1.57 \cdot 10^{-4} \frac{n_s}{10^{12}} \right\}^2. \quad (20)$$

Здесь и далее использована подстановка  $k = k_F = (2\pi n_s)^{1/2}$ , единицы измерения концентрации в (20) и далее —  $\text{см}^{-2}$ , коэффициента  $\gamma$  —  $\text{Å}^3 \cdot \text{эВ}$ .

Другой член, линейный по  $k$ , определяемый  $\Omega_{1R}^2$  (13) и характерный для асимметричной квантовой ямы, можно записать в виде

$$H_{s1R} = 3710\alpha^2 \left( \frac{m^*}{m_0} \right)^2 \frac{1}{\chi^2} \left( \frac{\frac{1}{2} n_s + N_0}{10^{12}} \right)^2. \quad (21)$$

Единицы измерения коэффициента  $\alpha$  —  $\text{Å}^2$ . Здесь использовано выражение для среднего электрического

поля квантовой ямы [25]:

$$F = \frac{4\pi e (N_0 + \frac{1}{2} n_s)}{\chi}. \quad (22)$$

Кубический по волновому вектору  $k$  член Дрессельхауза, определяемый  $\Omega_3^2$  (12), дает значение для параметра СО рассеяния

$$H_{s3D} = 0.283\gamma^2 \frac{\tau_3}{\tau} \left(\frac{m^*}{m_0}\right)^2 \left(\frac{n_s}{10^{12}}\right)^2. \quad (23)$$

Далее предполагали, что  $\tau_3/\tau = 1$ .

Расчетные значения параметров (20), (21) представлены на рис. 5, 6 кривыми 3, 4 соответственно. Кривые 5 показывают вычисленные зависимости величины  $H_s = H_{s1D} + H_{s3D} + H_{s1R}$  (15) от концентрации  $n_s$ . Для расчета использованы значения констант  $\gamma = (73 \pm 5) \text{ \AA}^3 \cdot \text{эВ}$  и  $\alpha = (84 \pm 10) \text{ \AA}^2$ .

На рис. 5,  $a, b$  приведены также расчеты параметров  $H_{s1R}$  в неравновесном режиме ( $H_{s1R}^{\text{PP}}$ ). Эффект замороженной фотопроводимости (*persistence photoconductivity*) в исследованных структурах связан с разделением носителей встроенным электрическим полем  $F$ , захватом дырок остаточными ионизованными акцепторами в слое узкозонного материала  $\text{In}_{0.53}\text{Ga}_{0.46}\text{As}$ , а также захватом поверхностными состояниями — в случае тонкого верхнего слоя [17]. Это означает, что если освещение системы межзонным светом приводит к увеличению  $n_s$  на величину  $\Delta n_s$ , то одновременно на ту же величину уменьшается концентрация  $N_0$ . В результате для среднего поля в состоянии замороженной фотопроводимости можно записать следующее выражение:

$$F = F_0 - \frac{4\pi e}{2\chi} \Delta n_s, \quad (24)$$

а для параметра СО рассеяния по механизму Рашбы в режиме замороженной фотопроводимости

$$H_{s1R}^{\text{PP}} = 3710\alpha^2 \left(\frac{m^*}{m_0}\right)^2 \frac{1}{\chi^2} \left(\frac{N_0 + n_{s0} - \frac{1}{2} n_s}{10^{12}}\right)^2. \quad (25)$$

Здесь обозначено  $F_0$  и  $n_{s0}$  — встроенное поле (22) гетероструктуры и концентрация электронов в исходном состоянии,  $n_s$  — концентрация электронов в режиме замороженной проводимости. Результаты расчета концентрационных зависимостей  $H_{s1R}^{\text{PP}}$  (25) показаны на рис. 5,  $a, b$  кривыми 6, а суммы  $H_{s1D} + H_{s3D} + H_{s1R}^{\text{PP}}$  — кривыми 7. Такое вычисление  $H_{s1R}^{\text{PP}}$  позволяет лишь качественно объяснить поведение найденных экспериментально параметров как  $H_{s1} = H_{s1R}^{\text{PP}}$ , так и  $H_s \approx H_{s1R}^{\text{PP}}$  в зависимости от концентрации электронов, возрастающей с увеличением количества импульсов освещения образцов (ср. точки 2 с кривыми 6, точки 1 — с кривыми 7 на рис. 5,  $a, b$ ).

**Таблица 2.** Значения параметров для GaAs, InAs,  $\text{In}_{0.15}\text{Ga}_{0.85}\text{As}$  и  $\text{In}_{0.53}\text{Ga}_{0.47}\text{As}$  по результатам  $\mathbf{k} \cdot \mathbf{p}$ -модели и экспериментальные

Параметры зонной структуры	Данные из работы [11]				Наши данные	
	$\mathbf{k} \cdot \mathbf{p}$			Эксперимент	$\mathbf{k} \cdot \mathbf{p}$	Эксперимент
	GaAs	InAs	$\text{In}_{0.15}\text{Ga}_{0.85}\text{As}$			
$E_g, \text{эВ}$	1.519	0.42	1.35		0.8215	
$\Delta, \text{эВ}$	0.341	0.38	0.347		0.362	
$E'_g, \text{эВ}$	2.97	3.97	3.12'		3.49	
$\Delta', \text{эВ}$	0.171	0.24	0.181		0.207	
$P, \text{эВ} \cdot \text{ \AA}$	10.49	9.2'	10.29		9.81	
$P', \text{эВ} \cdot \text{ \AA}$	4.78	0.87'	4.20		2.80	
$Q, \text{эВ} \cdot \text{ \AA}$	-8.16	-8.33	-8.18		-8.24	
$\gamma, \text{эВ} \cdot \text{ \AA}^3$	27.5	26.9	27.7	24	36	$73 \pm 5$
$\alpha, \text{ \AA}^2$	5.33	116.74	7.2	7.2	25	$84 \pm 8$

Весьма приблизительную оценку констант  $\alpha$  и  $\gamma$  можно сделать, используя линейную экстраполяцию приведенных в работе [11] параметров 3-зонной  $\mathbf{k} \cdot \mathbf{p}$ -модели энергетических зон для соединений  $\text{In}_x\text{Ga}_{1-x}\text{As}$  при  $x = 0, 0.15$  и 1 для нахождения значений при  $x = 0.53$  (см. табл. 2), а также приведенные в [11] формулы  $\mathbf{k} \cdot \mathbf{p}$ -модели:

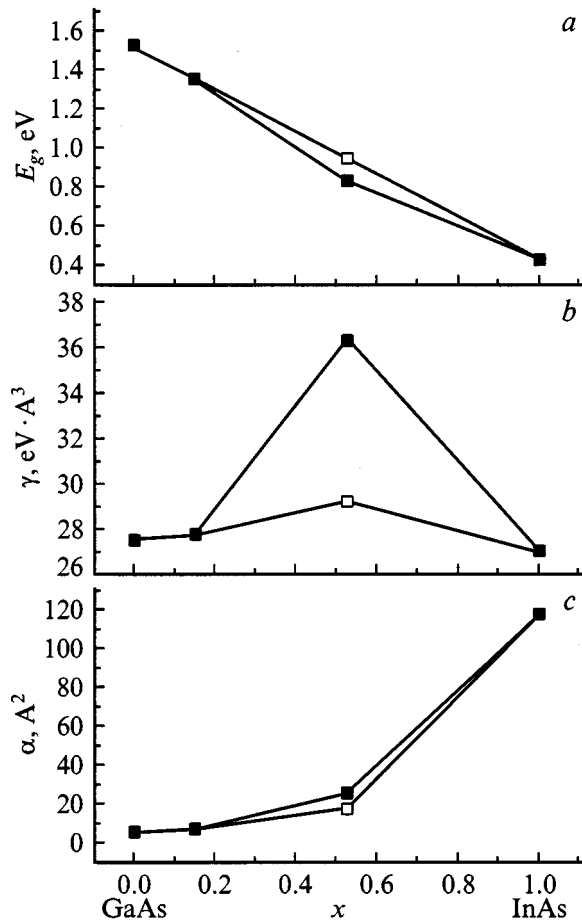
$$\gamma = -\frac{4}{3} \frac{PP'Q}{E_g(E'_g + \Delta')} \left( \frac{\Delta}{E_g + \Delta} + \frac{\Delta'}{E'_g} \right),$$

$$\alpha = \frac{2}{3} \left\{ P^2 \frac{\Delta}{E_g(E_g + \Delta)(E_g + \frac{1}{3}\Delta)} + P'^2 \frac{\Delta'}{E'_g(E'_g + \Delta')(E'_g + \frac{2}{3}\Delta')} \right\}.$$

В 3-зонной  $\mathbf{k} \cdot \mathbf{p}$ -модели принимаются во внимание состояния зоны проводимости  $\Gamma_6$  с функциями Блоха  $S$ , валентная зона  $\Gamma_8 + \Gamma_7$  с функциями  $X, Y, Z$  и более высокая зона  $\Gamma_{8c} + \Gamma_{7c}$  с функциями  $X', Y', Z'$ . Этим состояниям при  $k = 0$  соответствуют  $E_{\Gamma_6} = 0$ ,  $E_{\Gamma_8} = -E_g$ ,  $E_{\Gamma_7} = -(E_g + \Delta)$ ,  $E_{\Gamma_{7c}} = -E'_g$ ,  $E_{\Gamma_{8c}} = -E'_g + \Delta'$ ;  $P = (i\hbar/m_0)\langle S|p_z|Z\rangle$ ,  $P' = (i\hbar/m_0)\langle S|p_z|Z'\rangle$ ,  $Q = (i\hbar/m_0)\langle X|p_z|Z'\rangle$  — межзонные матричные элементы;  $\mathbf{p} = -i\hbar\nabla$ .

Линейная экстраполяция зависимости  $E_g(x)$  дает значение  $E_g = 0.94 \text{ эВ}$  (рис. 7,  $a$ , светлые точки 1). Однако известно экспериментальное значение  $E_g = 0.8215 \text{ эВ}$ , определенное с большой точностью в работе [26] (рис. 7,  $a$ , черные точки 2). Такое небольшое „провисание“ зависимости  $E_g(x)$  приводит к значительному увеличению коэффициента  $\gamma$  для твердого раствора  $\text{In}_{0.53}\text{Ga}_{0.47}\text{As}$  (рис. 7,  $b$ ). Полученные величины параметров для  $\text{In}_{0.53}\text{Ga}_{0.47}\text{As}$  приведены в табл. 2 вместе с данными из работы [11].

В результате для  $x = 0.53$  получаем теоретические оценки  $\gamma \approx 36 \text{ \AA}^3 \cdot \text{эВ}$  и  $\alpha \approx 25 \text{ \AA}^2$ . Эти цифры в 2–3 раза



**Рис. 7.** Зависимости: *a* —  $E_g(x)$ , *b* —  $\gamma(x)$  и *c* —  $\alpha(x)$  от содержания индия ( $x$ ) в твердом растворе  $\text{In}_x\text{Ga}_{1-x}\text{As}$  по данным [11] и их линейной экстраполяции (светлые точки). Те же зависимости, но с использованием известного для  $x = 0.53$  значения  $E_g = 0.8215$  эВ [26] — черные точки.

отличаются от найденных в результате подгонки зависимости (14) к экспериментальным данным (см. табл. 2). Однако известно, что и другие параметры зонной структуры, кроме  $E_g$ , могут нелинейным образом зависеть от состава твердого раствора в середине интервала  $x = 0-1$ .

В начале этого интервала, для значения  $x = 0.15$ , линейная экстраполяция во много раз точнее и неудивительно, что расчетные и экспериментальные данные для  $\gamma$  и  $\alpha$  в работе [11] практически совпадают. Кроме того, параметры зон вблизи гетерограницы  $\text{GaAs}/\text{In}_{0.15}\text{Ga}_{0.85}\text{As}$ , исследованной в [11], и  $\text{InP}/\text{In}_{0.53}\text{Ga}_{0.46}\text{As}$  могут быть различны из-за отличающихся постоянных решетки по обе стороны гетерограницы. И наконец, весьма вероятно, что после многократного использования циклов охлаждения-освещение-нагрев, которым подвергались образцы, структура дефектов на гетерогранице претерпела существенные изменения, так же как и деформация решетки, вследствие чего изменились и параметры энергетических зон, от которых зависят коэффициенты  $\gamma$  и  $\alpha$ .

## 5. Заключение

Исследовано квантовое магнитосопротивление двумерного электронного газа на гетерогранице  $\text{In}_{0.53}\text{Ga}_{0.46}\text{As}/\text{InP}$  в режиме замороженной фотопроводимости. Знакопеременный характер магнитосопротивления в слабом магнитном поле до 100 Гс свидетельствует о влиянии спин-орбитального взаимодействия на проводимость квантовой ямы.

Показано, что основным вкладом в величину частоты спин-орбитального рассеяния  $1/\tau_{\text{so}}$  является механизм, определяемый встроенным на гетерогранице электрическим полем, — линейным по волновому вектору электрона механизмом Рашбы. Полученные данные позволяют на основе существующих теорий оценить параметры спин-орбитального расщепления энергетического спектра  $\alpha = (84 \pm 4) \text{ \AA}^2$  (по механизму Рашбы) и  $\gamma = (73 \pm 3) \text{ эВ} \cdot \text{ \AA}^3$  (по механизмам Дьяконова-Переля и Дрессельхауза). Частота сбоя фазы волновой функции электронов определяется суммой частот электрон-электронного взаимодействия, характерных для идеальной и разупорядоченной двумерной ферми-жидкости.

Работа выполнена при частичной поддержке программы Министерства науки и промышленности „Физика твердотельных наноструктур“.

## Список литературы

- [1] N.V. Agrinskaya, V.I. Kozub, T.A. Polyanskaya. *Phys. St. Sol.*, **218** (1), 68 (2000).
- [2] Б.И. Шкловский, А.Л. Эфрос. *Электронные свойства легированных полупроводников* (М., Наука, 1979).
- [3] A.C. Beer. *Galvanomagnetic Effects in Semiconductors*. Suppl. 4 to *Solid State Physics* (Academic Press, N.Y., 1963).
- [4] Б.Л. Альтшулер, А.Г. Аронов, А.И. Ларкин, Д.Е. Хмельницкий. *ЖЭТФ*, **81** (8), 768 (1981). [*Sov. Phys. JETP*, **54**, 411 (1981)].
- [5] B.L. Altshuler, A.G. Aronov. *Electron-Electron Interaction In Disorderd Systems*, ed. by A.L. Efros, M. Pollak (North-Holland, Amsterdam, 1985) p. 1 [*Modern Problems in Condensed Matter Sciences*, v. 10].
- [6] Т.А. Полянская, Ю.В. Шмарцев. *ФТП*, **23** (1), 3 (1989) [*Sov. Phys. Semicond.*, **23** (1), 1 (1989)].
- [7] A.M. Paalanen, D.C. Tsui, J.C.M. Hwang. *Phys. Rev. Lett.*, **51** (24), 2226 (1983).
- [8] S. Hikami, A.I. Larkin, Y. Nagaoka. *Prog. Theor. Phys.*, **44** (2), 707 (1980).
- [9] P.D. Dresselhaus, C.M. Papavassiliou, R.G. Wheeler, R.N. Sacks. *Phys. Rev. Lett.*, **68** (1), 106 (1992).
- [10] S.V. Iordanskii, Yu.B. Lyanda-Geller, G.E. Pikus. *Письма ЖЭТФ*, **60** (3), 199 (1994) [*JETP Lett.*, **60**, 206 (1994)].
- [11] W. Knap, C. Skierbiszewski, A. Zduniak, E. Litwin-Staszewska, D. Bertho, F. Kobbi, J.L. Robert, G.E. Pikus, F.G. Pikus, S.V. Iordanskii, V. Mosser, K. Zekentes, Yu.B. Lyanda-Geller. *Phys. Rev. B*, **53**, 3912 (1996).
- [12] А.И. Ларкин. *Письма ЖЭТФ*, **31**, 239 (1980) [*Sov. Phys. JETP Lett.*, **31**, 219 (1980)].



- [13] Ж.И. Алфёров, А.Т. Гореленок, В.В. Мамутин, Т.А. Полянская, И.Г. Савельев, Ю.В. Шмарцев. ФТП, **18** (11), 1999 (1984) [Sov. Phys. Semicond., **18** (11), 1247 (1984)].
- [14] М.И. Дьяконов, Ю.Ю. Качоровский. ФТП, **20**, 210 (1986) [Sov. Phys. Semicond., **20**, 110 (1986)].
- [15] Yu.L. Bychkov, E.I. Rashba. J. Phys. C, **17**, 6093 (1984).
- [16] Л.В. Голубев, А.М. Крещук, С.В. Новиков, Т.А. Полянская, И.Г. Савельев, И.И. Сайдашев. ФТП, **22** (11), 1948 (1988) [Sov. Phys. Semicond., **22** (11), 1238 (1988)].
- [17] Н.А. Берт, В.В. Воробьева, М.В. Воронцова, А.М. Крещук, С.В. Новиков, К.Ю. Погребницкий, И.Г. Савельев, Д.Ж. Сайфидинов, Н.П. Сошников, А.Я. Шик. ФТП, **24** (4), 653 (1990) [Sov. Phys. Semicond., **24** (4), 410 (1990)].
- [18] Д.Д. Быканов, А.М. Крещук, С.В. Новиков, Т.А. Полянская, И.Г. Савельев. ФТП, **32** (9), 1100 (1998) [Semiconductors, **32** (9), 985 (1998)].
- [19] И.Г. Савельев, Т.А. Полянская. ФТП, **22** (10), 1818 (1988) [Sov. Phys. Semicond., **22** (10), 1150 (1988)].
- [20] V.L. Altshuler, A.G. Aronov, D.E. Khmel'nitskii. J. Phys. C, **15**, 7367 (1982).
- [21] H. Fukuyama, E. Abrahams. Phys. Rev. B, **27** (10), 5976 (1983).
- [22] В. Карпус. ФТП, **22** (3), 439 (1988) [Sov. Phys. Semicond., **22** (3), 268 (1988)].
- [23] И.Л. Дричко, А.М. Дьяконов, В.Д. Каган, А.М. Крещук, Т.А. Полянская и др. ФТП, **31** (11), 1357 (1997) [Semiconductors, **31** (11), 1170 (1997)].
- [24] D.D. Bykanov, A.M. Kreshchuk, S.V. Novikov, T.A. Polyanskaya, I.G. Savel'ev. In: *Proc. 24<sup>th</sup> Int. Conf. on the Physics of Semiconductors* (Jerusalem, Israel, 1999), ed. by D. Gershenson (World Scientific, 1999) CD-ROM, papers No 0219.
- [25] T. Ando. Rev. Mod. Phys., **54** (2), 437 (1982).
- [26] E. Zelinski, H. Schweizer, K. Sruebel, H. Eisele, G. Weimann. J. Appl. Phys., **59** (6), 2196 (1988).

Редактор Т.А. Полянская

## Weak antilocalization and spin-orbit interaction in a $\text{In}_{0.53}\text{Ga}_{0.47}\text{As}/\text{InP}$ quantum well in the persistence photoconductivity state

D.D. Bykanov, S.V. Novikov, T.A. Polyanskaya,  
I.G. Savel'ev

Ioffe Physicotechnical Institute,  
Russian Academy of Sciences,  
194021 St.Petersburg, Russia

**Abstract** Low-field quantum magnetoresistance of two-dimensional electron gas on the  $\text{In}_{0.53}\text{Ga}_{0.46}\text{As}/\text{InP}$  interface has been investigated in the persistent photoconductivity state. The sign-changed character magneto-field dependencies of magnetoresistance is an evidence in favour of spin-orbit interaction in quantum well conductivity. It is shown that the main contribution to the value of spin-orbital scattering frequency  $1/\tau_{\text{so}}$  is made by a mechanism induced by the built-in electrical field on the interface. It is the Rashba mechanism that is linear along the electron wave vector. Data obtained allow us to find the parameters of energy spectrum spin-orbital splitting:  $\alpha = (84 \pm 10) \text{ \AA}^2$  (for the Rashba mechanism) and  $\gamma = (73 \pm 5) \text{ eV} \cdot \text{ \AA}^3$  (for the Dyakonov-Perel and Dresselhaus mechanisms).